

Федеральное государственное бюджетное образовательное учреждение
высшего образования
«Новосибирский государственный технический университет»

Кафедра: Автоматики

ОТЧЕТ ПО ПРАКТИКЕ

Производственная (преддипломная) практика: практика по получению
профессиональных умений и опыта профессиональной деятельности
(сосредоточенная)

Направление подготовки: 270304 – Управление в технических системах

Выполнил:

Студент
Гаевский Илья Валерьевич
(Ф. И. О.)

Группа АА-47

Факультет АВТ

подпись

«__» _____ 20__ г.

Проверил:

Руководитель от НГТУ Колкер Алексей
Борисович
(Ф. И. О.)

Балл: _____, ECTS _____,

Оценка _____

подпись

«__» _____ 20__ г.

Новосибирск 2018

Задание:

Разработать систему стабилизации мультироторными летательными аппаратами и математическую модель квадрокоптера.

Ход практики:

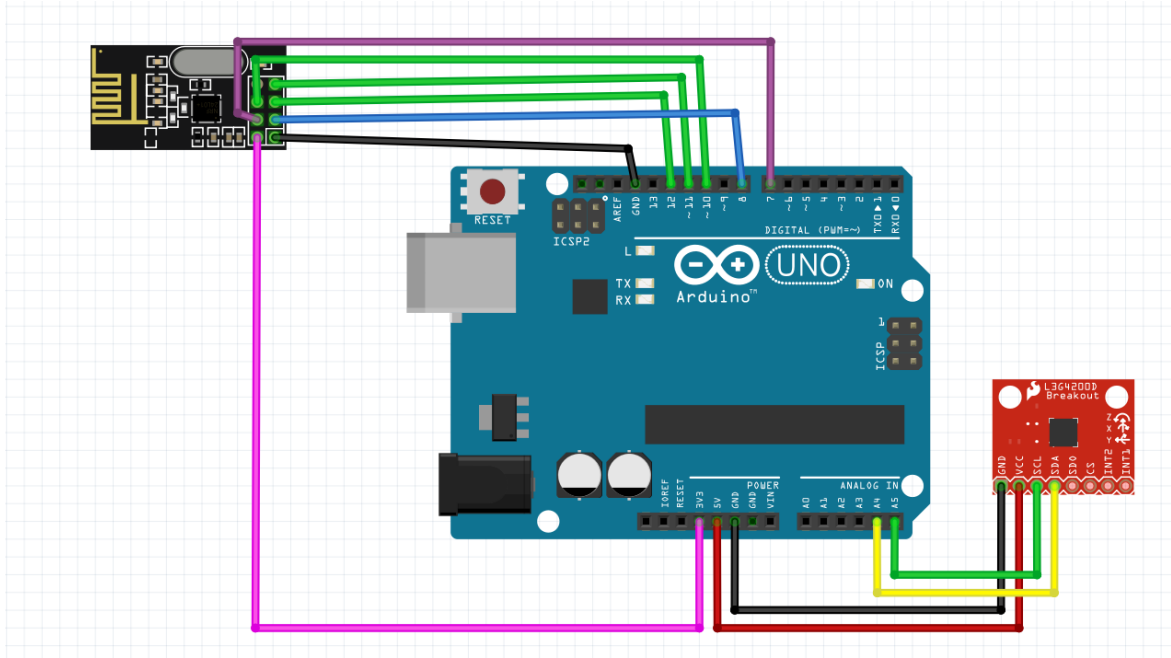


Рис.1 Структурная схема системы.

Компоненты системы:

1. nRF24L01+;
2. MPU9250;
3. Arduino Uno.

В курсовой работе был создан полетный контроллер, принимающий значения от пульта дистанционного управления на основе модуля nRF24L01+, передающий информацию по частоте 2,4 ГГц, сопряженный с Arduino по протоколу SPI. Так же полетный контроллер принимает значения от модуля MPU9250, содержащего в себе акселерометр, гироскоп, магнитометр, барометр, подключенный к Arduino по протоколу I2C. Микроконтроллер, принимает значения от пульта управления о требуемой мощности, тангажу, крену, рысканье; от гироскопа и акселерометра данные о тангаже, крене и рысканьи. На основе этих данных, микроконтроллер высчитывает правило управления и отправляет требуемые значения на моторы. Теперь же, помимо этого надо разработать математическую модель коптера.

Разработка модели

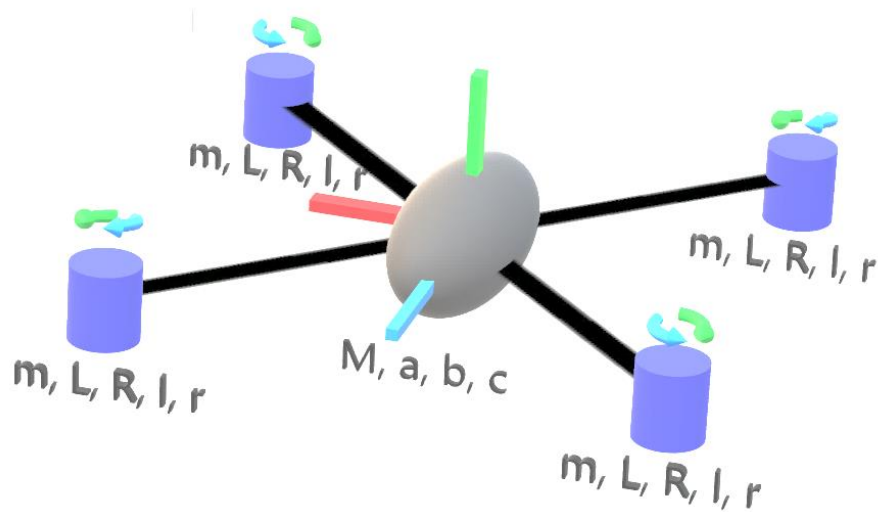


Рис.2. Общий вид коптера

Где ось Ox – голубая, Oy – красная, Oz – зеленая; M – масса тела коптера; a, b, c – параметры эллипсоида (по оси Ox – b , Oy – c , Oz – a); m – масса одного двигателя, L – высота двигателя, R – радиус двигателя, l – расстояние от центра коптера до двигателя, r – радиус винта; зелеными стрелками указано направление вращения двигателя, синими – направления момента сопротивления винта, плечи соединения тела и двигателей и тела.

Моменты инерции по осям:

Ox

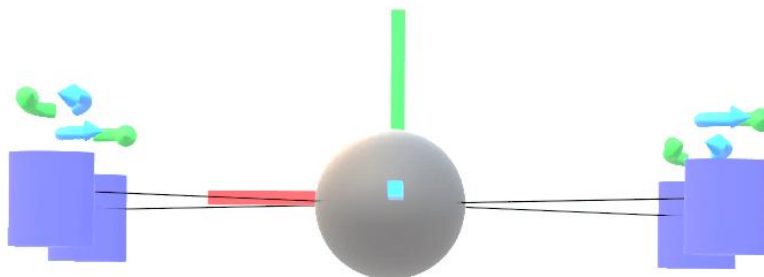


Рис. 3. Модель коптера вдоль оси Ox

$$J_x = M \frac{a^2 + c^2}{5} + 4m \left(\frac{R^2}{4} + \frac{L^2}{12} + l^2 \right)$$

(1)

Oy

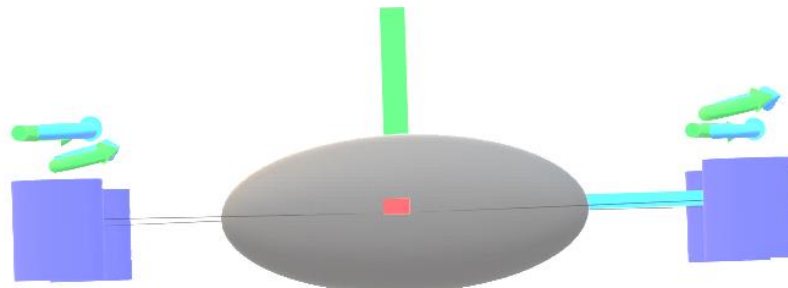


Рис. 4. Модель коптера вдоль оси Oy

| | |
|--|-----|
| $J_y = M \frac{a^2 + b^2}{5} + 4m \left(\frac{R^2}{4} + \frac{L^2}{12} + l^2 \right)$ | (2) |
|--|-----|

Oz

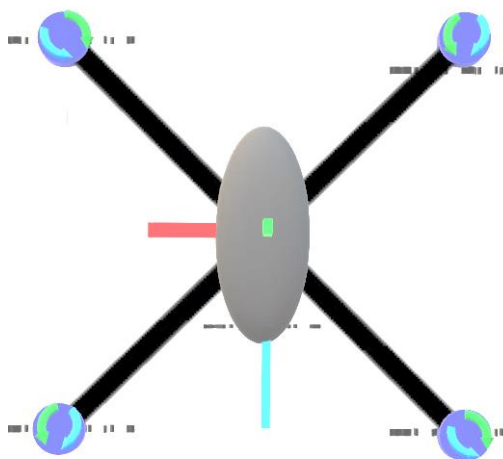


Рис. 5. Модель коптера вдоль оси Oz

| | |
|---|-----|
| $J_z = M \frac{c^2 + b^2}{5} + 4m \left(\frac{R^2}{2} + l^2 \right)$ | (3) |
|---|-----|

Матрицы сил и вращения твердого тела.

Подъемная сила каждого винта с модулем Р направлена вверх, сонаправлено оси Oz, относительно самого коптера.

| | |
|---|---------|
| $\left\{ \begin{array}{l} P_k = \begin{bmatrix} P_x \\ P_y \\ P_z \end{bmatrix} = \begin{bmatrix} 0 \\ 0 \\ P \end{bmatrix} \\ P = \sum_{i=1}^4 P_i = \sum_{i=1}^4 c_{p_i} w_i^2 \\ c_{p_i} = \frac{\rho c_a S_i r_i^2}{2} \\ G = \begin{bmatrix} 0 \\ 0 \\ -(M + 4m)g \end{bmatrix} \end{array} \right.$ | (4)-(7) |
|---|---------|

Где, P_k – матрица подъемной силы, разбитой по осям, P – суммарная тяга, P_i – сила тяги i -го винта, c_{p_i} – коэффициент силы тяги i -го винта, ρ – плотность воздуха, c_a – коэффициент подъемной силы, S_i – площадь отметаваемой i -ым винтом поверхности, r_i – радиус i -го винта, f – матрица сил сопротивления воздуха, G – матрица сил притяжения, g – ускорение свободного падения.

Допускаем, что коптер симметричен, центр масс коптера расположен строго в точке начала координат, тогда

| | |
|---|------|
| $\begin{cases} J_x \ddot{\phi} = M_{R_x} \\ J_y \ddot{\theta} = M_{R_y} \\ J_z \ddot{\psi} = M_{R_z} \end{cases}$ | (8) |
| $M_R = \begin{bmatrix} M_{R_x} \\ M_{R_y} \\ M_{R_z} \end{bmatrix} = [M_q]$ | (9) |
| $M_q = \begin{bmatrix} M_{q_x} \\ M_{q_y} \\ M_{q_z} \end{bmatrix} = \begin{bmatrix} (P_2 + P_3 - P_1 - P_4)l \sin 45^\circ \\ (P_2 + P_3 - P_1 - P_4)l \cos 45^\circ \\ M_2 + M_4 - M_1 - M_3 \end{bmatrix}$ | (10) |
| $M_i = c_{p_i} r w^2$ | (11) |
| $w_i = k V_i U_i$ | (12) |

Где, M_R – матрица результирующего момента, M_q – матрица моментов от винтов kV – коэффициент преобразования напряжения в обороты для напряжений от 1В до 4.2В, где, согласно документации на мотор, идет линейная зависимость.

Реализация модели в Matlab

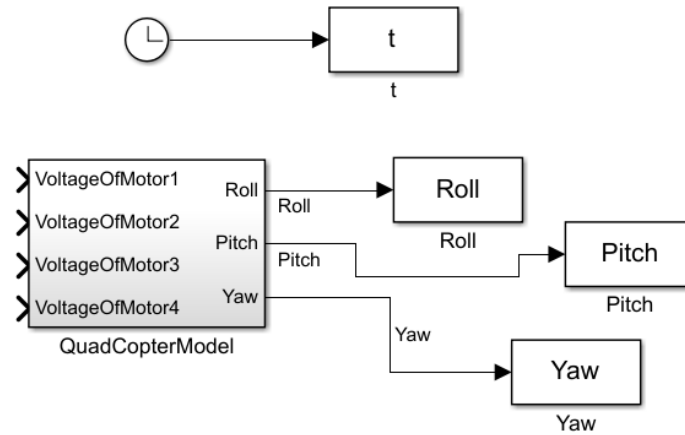


Рис.6. Модель коптера в Simulink

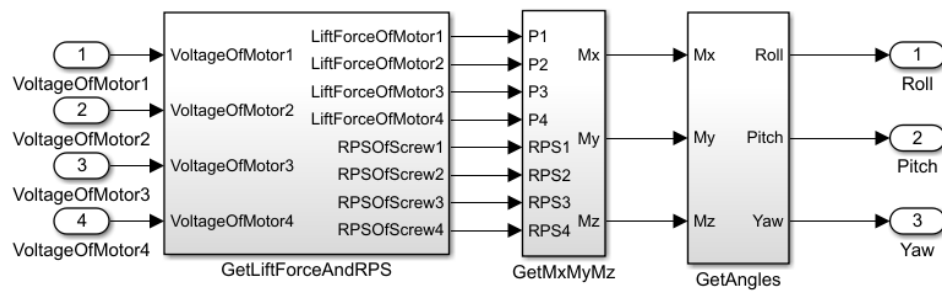


Рис.7. Структурная схема модели коптера

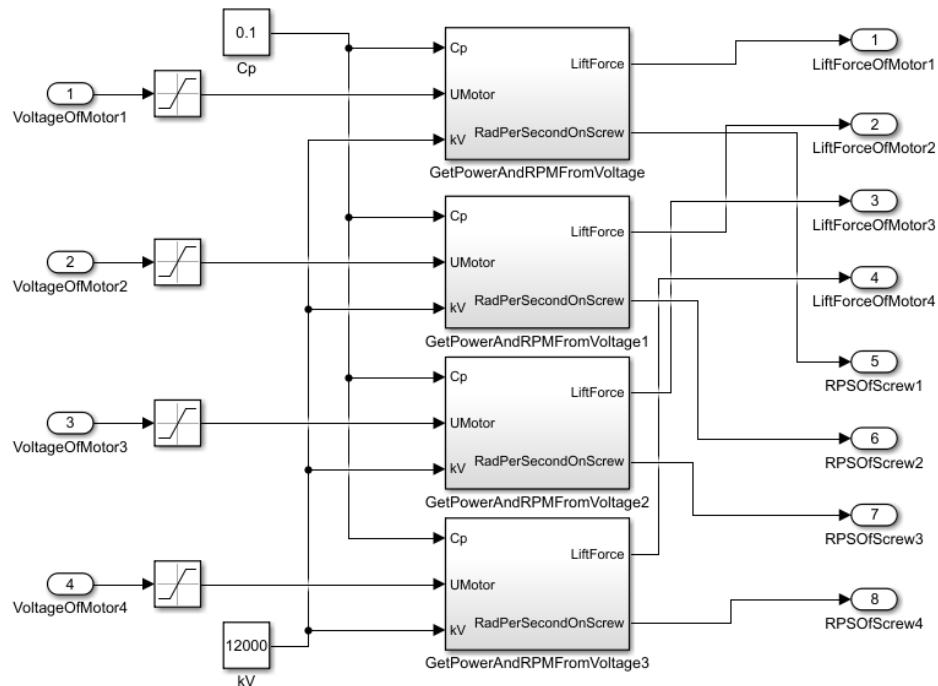


Рис.8. Блок GetLiftForceAndRPS

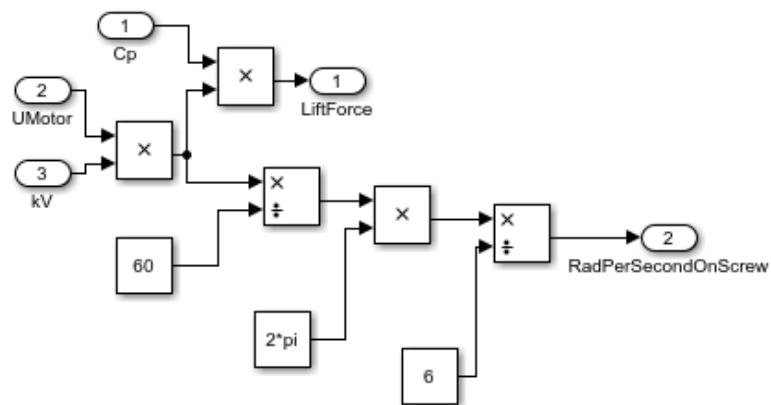


Рис.9. Блок GetPowerAndRPMFromVoltage

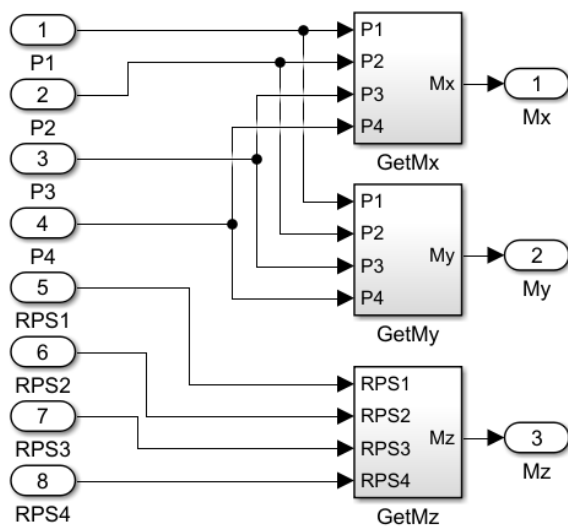


Рис.10. Блок GetMxMyMz

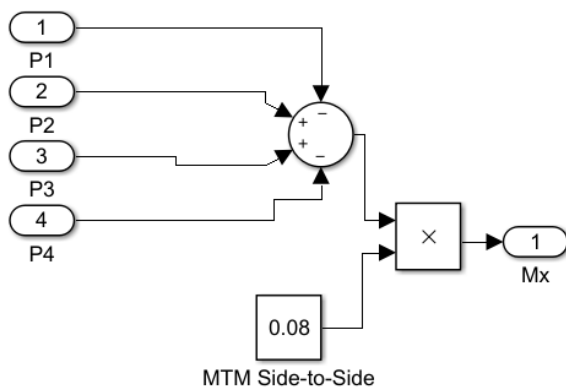


Рис.11. Блок GetMx

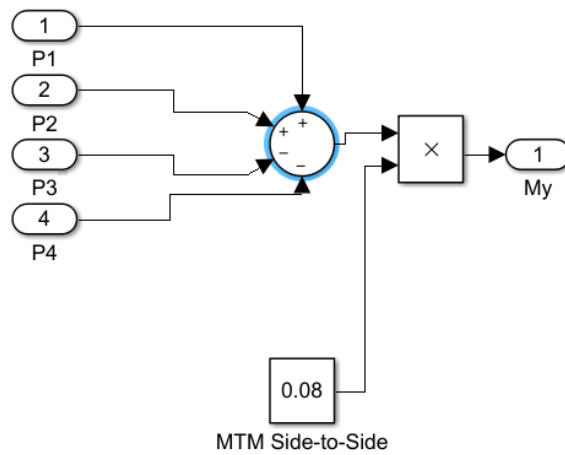


Рис.12. Блок GetMy

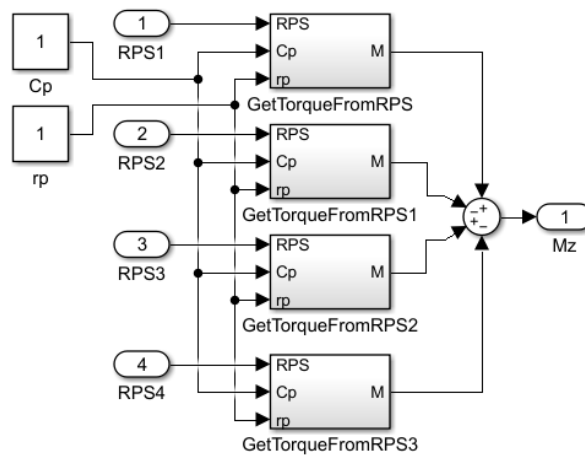


Рис.12. Блок GetMz

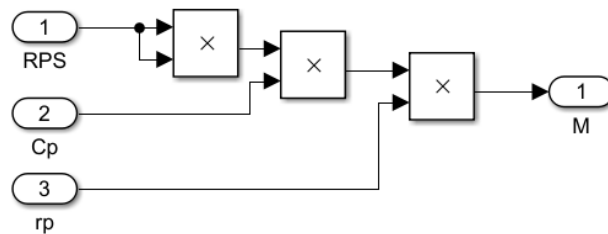


Рис.13. Блок GetTorqueFromRPS

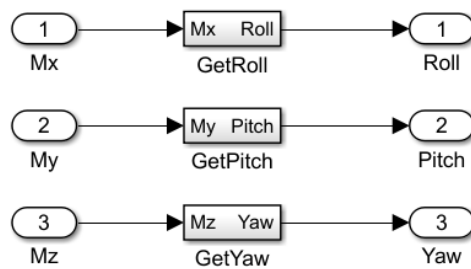


Рис.14. Блок GetAngles

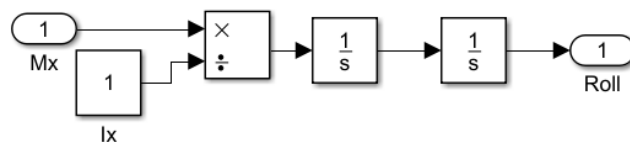


Рис.15. Блок GetRoll

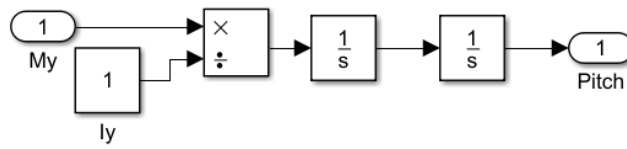


Рис.16. Блок GetPitch

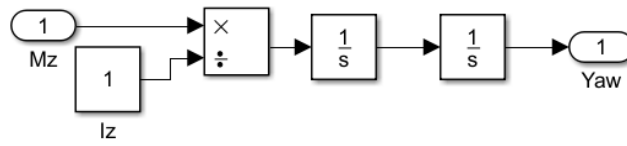


Рис.17. Блок GetYaw

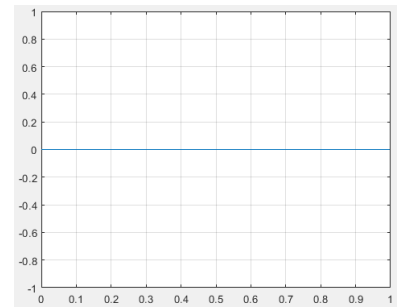
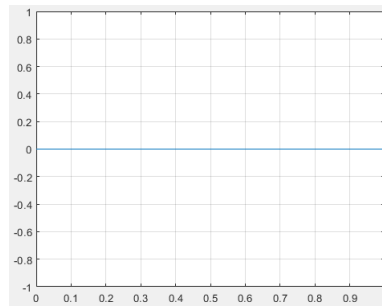
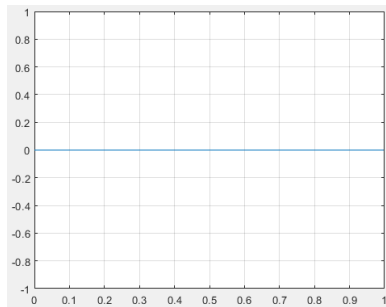


Рис.18-21. Переходный процесс при одинаковом напряжении на всех моторах (взлет)

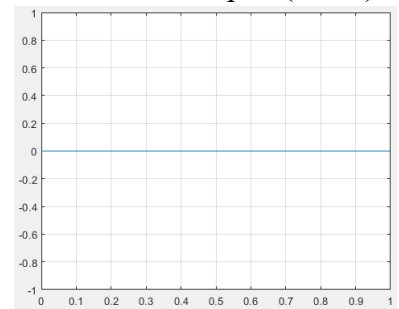
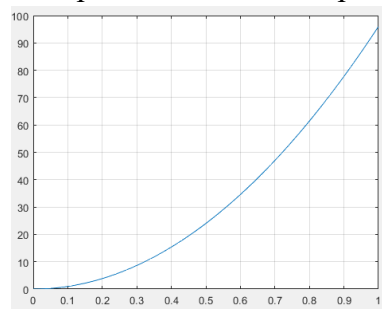
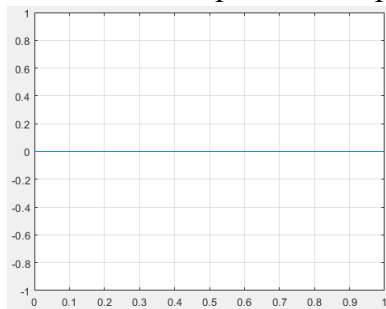


Рис.22-24. Переходный процесс при большей мощности на передних моторах (тангаж)

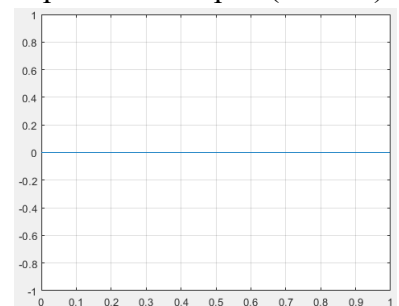
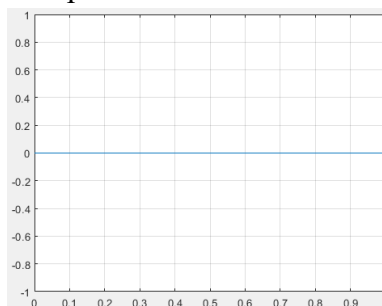
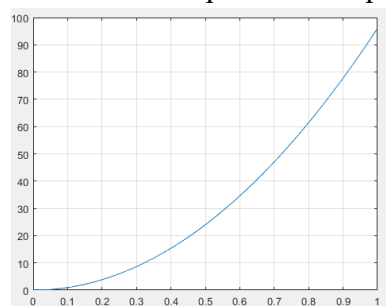


Рис.25-27. Переходный процесс при большей мощности на левых моторах (крен)

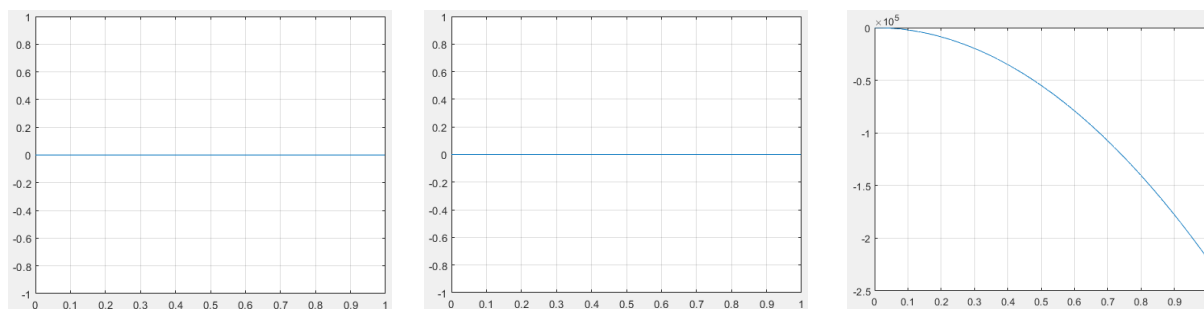


Рис.28-30. Переходный процесс при большей мощности на диагональных моторах (рысканье)

Как видно из графиков, закон управления для коптера работает оптимально.

Вычисление физических параметров коптера EACHINE e708

Как модель коптера для моделирования, был выбран коптер EACHINE e708.
Расчет моментов инерции по осям:

Ox

$$\begin{aligned} J_x &= M \frac{a^2 + c^2}{5} + 4m \left(\frac{R^2}{4} + \frac{L^2}{12} + l^2 \right) = \\ &= 0.083 \frac{0.017^2 + 0.022^2}{5} + 4 \times 0.005 \left(\frac{0.015^2}{4} + \frac{0.058^2}{12} + 0.0975^2 \right) = \\ &= 0.000209 \text{ кг} \times \text{м}^2 \end{aligned}$$

Oy

$$\begin{aligned} J_y &= M \frac{a^2 + b^2}{5} + 4m \left(\frac{R^2}{4} + \frac{L^2}{12} + l^2 \right) = \\ &= 0.083 \frac{0.017^2 + 0.0525^2}{5} + 4 \times 0.005 \left(\frac{0.015^2}{4} + \frac{0.058^2}{12} + 0.0975^2 \right) = \\ &= 0.000247 \text{ кг} \times \text{м}^2 \end{aligned}$$

Oz

$$\begin{aligned} J_z &= M \frac{c^2 + b^2}{5} + 4m \left(\frac{R^2}{2} + l^2 \right) = \\ &= 0.083 \frac{0.022^2 + 0.0525^2}{5} + 4 \times 0.005 \left(\frac{0.015^2}{2} + 0.0975^2 \right) = 0.000246 \text{ кг} \times \text{м}^2 \end{aligned}$$

Определение коэффициента силы тяги винта

Для того, чтобы определить значение коэффициента силы тяги винта, нужно вычислить значение подъемной силы винта. Запишем второй закон Ньютона из матриц (4) и (7).

| | |
|---------------------|------|
| $(M + 4m)A = P + G$ | (13) |
|---------------------|------|

где матрица A – матрица результирующего ускорения по осям связанной системы координат.

| | |
|---|------|
| $A = \begin{bmatrix} A_x \\ A_y \\ A_z \end{bmatrix}$ | (14) |
|---|------|

Для того, чтобы определить подъемную силу P, выразим ее из формулы (13)

| | |
|---|------|
| $P = (M + 4m)A - G$ | (15) |
| $\begin{bmatrix} 0 \\ 0 \\ P \end{bmatrix} = (M + 4m) \begin{bmatrix} A_x \\ A_y \\ A_z \end{bmatrix} - \begin{bmatrix} 0 \\ 0 \\ -(M + 4m)g \end{bmatrix}$ | (16) |

При подъеме коптера вверх, результирующее ускорение направлено вдоль оси Oz, следовательно, перезапишем формулу (16).

| | |
|-------------------------|------|
| $P = (M + 4m)(A_z + g)$ | (17) |
|-------------------------|------|

Вычислять ускорение будем при помощи безмена.

После вычисления суммарной подъемной силы, надо его разделить на количество винтов, в данном случае 4, и разделить на квадрат скорости вращения винтов. Для этого нужно получить скорость вращения двигателя и разделить его на передаточное число понижающего редуктора. Скорость вращения мотора получаем из напряжения, подаваемого на моторы. Оно равно максимальному напряжению на батарее коптера 4.2 В.

| | |
|---|------|
| $c_p = \frac{P}{4w^2} = \frac{(M + 4m)(A_z + g)}{4w^2}$ | (18) |
|---|------|

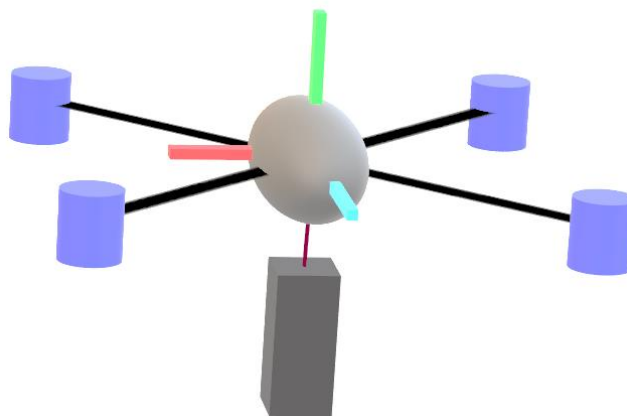


Рис.31. Схема экспериментальной установки. Черный параллелепипед – безмен, прикрепленный к столу.

Безменом будет измеряться произведение суммы масс на ускорение. Значение с безмена будет умножено на 9.8 М/с^2 , чтобы получить значение силы и поделено на полную сумму массы коптера. Полученное значение массы с безмена равно 0.03 кг. Значение ускорения $2,85 \text{ М/с}^2$. Суммарная подъемная сила при взлете 1.3 Н. Скорость оборотов двигателя равна $4.2 \times 12000 = 50400 \text{ об/мин} = 840 \text{ об/с} = 5275 \text{ рад/с}$. На винте имеем скорость вращения $\frac{5275}{6} \text{ рад/с} = 880 \text{ рад/с}$.

$$c_p = \frac{1.3}{4 \times 880^2} = 0.000000419 \text{ Н} \times \text{с}^2 / \text{рад}^2$$

Заключение:

В ходе данной работы был разработан полетный контроллер с использованием гироскопа, акселерометра, изучена работа с несколькими интерфейсами, построена математической модели квадрокоптера.

Листинг программы:

```
1. #include <printf.h>
2.
3. #include <Servo.h>
4.
5. #include <MPU6050_tockn.h>
6.
7. #include <Wire.h>
8.
9. #include <RF24.h>
10. #include <RF24_config.h>
11. #include <nRF24L01.h>
12.
13. #ifdef _ESP32_HAL_I2C_H_
14. #define SDA_PIN 4
15. #define SCL_PIN 5
16. #endif
17.
18. #define calculatedGyroOffsetX -6.65
19. #define calculatedGyroOffsetY -1.62
20. #define calculatedGyroOffsetZ -1.62
21.
22. #define BAUD_RATE 19200
23.
24. #define MAX_SIZE_OF_SERIAL 64
25.
26. #define DEBUG false
27.
28. #define ACCELEROMETER_COEF 0.1
29. #define GYRO_COEF 0.1
30.
31. typedef enum
32. {
33.     X,
34.     Y,
35.     Z
36. } COORD;
37.
38. struct ANGLE_COMMAND
39. {
40.     COORD coord;
41.     float angle;
42. };
43.
44. RF24 radio(7, 8);
45.
46. Servo leftFront, rightFront, leftRear, rightRear;
47.
48. MPU6050 mySensor(Wire, ACCELEROMETER_COEF, GYRO_COEF);
49. /*
50.     Trottle - высота (Левый стик, вертикаль)
51.     Pitch - Тангаж (Правый стик, вертикаль)
52.     Roll - Крен (Правый стик, горизонталь)
53.     Yaw - Рысканье (Левый стик, горизонталь)
54. */
55.
56. //pipes addresses
57. byte addresses[6] = "1Node";
58.
59. byte message[4] = {0, 0, 0, 0};
60.
61. //delaytime
62. int dT = 2;
63.
64. //PID's coefficients
65. float KpYaw = 1.0, KiYaw = 1.0, KdYaw = 1.0; //YAW РЫСКАНИЕ - Z
66. float KpRoll = 1.0, KiRoll = 1.0, KdRoll = 1.0; //ROLL КРЕН - Y
```

```

67. float KpPitch = 1.0, KiPitch = 1.0, KdPitch = 1.0; //PITCH TAHHAX - X
68.
69. //PID's values to storage
70. int PIDYaw = 0, PIDRoll = 0, PIDPitch = 0;
71.
72. //Errors to PID
73. int errorYaw = 0, errorRoll = 0, errorPitch = 0;
74.
75. //Last values of calculateErrors for derivation
76. int lastYaw = 0, lastRoll = 0, lastPitch = 0;
77.
78. //Integrator values for inegration;
79. int integratedYaw = 0, integratedRoll = 0, integratedPitch = 0;
80.
81. //Values for motors
82. int LF, RF, LR, RR;
83.
84. //Input values from transmitter
85. int inTrottle = 0, inYaw = 0, inRoll = 0, inPitch = 0;
86.
87. //Input raw values from Gyro
88. float inGyroX = 0.0, inGyroY = 0.0, inGyroZ = 0.0;
89.
90. //Input raw values from Accel
91. float inAccX = 0.0, inAccY = 0.0, inAccZ = 0.0;
92.
93. //Input raw values from AccelAngle
94. float inAccAngleX = 0.0, inAccAngleY = 0.0;
95.
96. //Input raw values from GyroAngle
97. float inGyroAngleX = 0.0, inGyroAngleY = 0.0, inGyroAngleZ = 0.0;
98.
99. //Input raw values from Angle
100.     float inAngleX = 0.0, inAngleY = 0.0, inAngleZ = 0.0;
101.
102.     //Input filtered values from Gyro
103.     float filteredGyroYaw = 0.0, filteredGyroRoll = 0.0, filteredGyroPitch = 0.0;
104.
105.     //Input filtered values from Accel
106.     float filteredAccYaw = 0.0, filteredAccRoll = 0.0, filteredAccPitch = 0.0;
107.
108.     //Variables for Kalman's filter
109.     float deviationGyroYaw = 0.0, deviationGyroRoll = 0.0, deviationGyroPitch = 0.0;
110.     //middle deviation
110.     float speedGyroYaw = 0.0, speedGyroRoll = 0.0, speedGyroPitch = 0.0;
111.     //speed of working
112.
112.     float PcGyroYaw = 0.0, PcGyroRoll = 0.0, PcGyroPitch = 0.0;
113.     float GGyroYaw = 0.0, GGyroRoll = 0.0, GGyroPitch = 0.0;
114.     float PGyroYaw = 0.0, PGyroRoll = 0.0, PGyroPitch = 0.0;
115.
116.     float deviationAccYaw = 0.0, deviationAccRoll = 0.0, deviationAccPitch = 0.0;
117.     float speedAccYaw = 0.0, speedAccRoll = 0.0, speedAccPitch = 0.0;
118.
119.     float PcAccYaw = 0.0, PcAccRoll = 0.0, PcAccPitch = 0.0;
120.     float GAccYaw = 0.0, GAccRoll = 0.0, GAccPitch = 0.0;
121.     float PAccYaw = 0.0, PAccRoll = 0.0, PAccPitch = 0.0;
122.
123. void writeMotors()
124. {
125.     leftFront.write(LF);
126.     rightFront.attach(RF);
127.     leftRear.attach(LR);
128.     rightRear.attach(RR);
129. }
130.
131. void getGyro()
132. {
133.     inGyroX = mySensor.getGyroX();

```



```

134.         inGyroY = mySensor.getGyroY();
135.         inGyroZ = mySensor.getGyroZ();
136.     }
137.
138.     void getAccel()
139.     {
140.         inAccX = mySensor.getAccX();
141.         inAccY = mySensor.getAccY();
142.         inAccZ = mySensor.getAccZ();
143.     }
144.
145.     void getAccAngles()
146.     {
147.         inAccAngleX = mySensor.getAccAngleX();
148.         inAccAngleY = mySensor.getAccAngleY();
149.     }
150.
151.     void getGyroAngles()
152.     {
153.         inGyroAngleX = mySensor.getGyroAngleX();
154.         inGyroAngleY = mySensor.getGyroAngleY();
155.         inGyroAngleZ = mySensor.getGyroAngleZ();
156.     }
157.
158.     void getAngles()
159.     {
160.         inAngleX = mySensor.getAngleX();
161.         inAngleY = mySensor.getAngleY();
162.         inAngleZ = mySensor.getAngleZ();
163.     }
164.
165.     void getData()
166.     {
167.         radio.read(&message, sizeof(message));
168.         inTrottle = message[0];
169.         inYaw = message[1] - 512;
170.         inRoll = message[2] - 512;
171.         inPitch = message[3] - 512;
172.     }
173.
174.     void filterGyro()
175.     {
176.         PcGyroYaw = PGyroYaw + speedGyroYaw;
177.         GGyroYaw = PcGyroYaw / (PcGyroYaw + deviationGyroYaw);
178.         PGyroYaw = (1 - GGyroYaw) * PcGyroYaw;
179.         filteredGyroYaw = GGyroYaw * (inGyroZ - filteredGyroYaw) + filteredGyroYaw;
180.
181.         PcGyroRoll = PGyroRoll + speedGyroRoll;
182.         GGyroRoll = PcGyroRoll / (PcGyroRoll + deviationGyroRoll);
183.         PGyroRoll = (1 - GGyroRoll) * PcGyroRoll;
184.         filteredGyroRoll = GGyroRoll * (inGyroX - filteredGyroRoll) + filteredGyroRoll
185. ;
186.
187.         PcGyroPitch = PGyroPitch + speedGyroPitch;
188.         GGyroPitch = PcGyroPitch / (PcGyroPitch + deviationGyroPitch);
189.         PGyroPitch = (1 - GGyroPitch) * PcGyroPitch;
190.         filteredGyroPitch = GGyroPitch * (inGyroY - filteredGyroPitch) + filteredGyroP
191. itch;
192.     }
193.
194.     void filterAccel()
195.     {
196.         PcAccYaw = PAccYaw + speedAccYaw;
197.         GAccYaw = PcAccYaw / (PcAccYaw + deviationAccYaw);
198.         PAccYaw = (1 - GAccYaw) * PcAccYaw;
199.         filteredAccYaw = GAccYaw * (inAccZ - filteredAccYaw) + filteredAccYaw;
200.
201.         PcAccRoll = PAccRoll + speedAccRoll;
202.         GAccRoll = PcAccRoll / (PcAccRoll + deviationAccRoll);

```

```

201.     PAccRoll = (1 - GAccRoll) * PccAccRoll;
202.     filteredAccRoll = GAccRoll * (inAccX - filteredAccRoll) + filteredAccRoll;
203.
204.     PccAccPitch = PAccPitch + speedAccPitch;
205.     GAccPitch = PccAccPitch / (PccAccPitch + deviationAccPitch);
206.     PAccPitch = (1 - GAccPitch) * PccAccPitch;
207.     filteredAccPitch = GAccPitch * (inAccY - filteredAccPitch) + filteredAccPitch;
208. }
209.
210. void PIDs()
211. {
212.     PIDYaw = (int)(KpYaw * errorYaw + KdYaw * (errorYaw - lastYaw) + KiYaw * (inte
gratedYaw + errorYaw));
213.     integratedYaw += errorYaw;
214.     lastYaw = errorYaw;
215.
216.     PIDRoll = (int)(KpRoll * errorRoll + KdRoll * (errorRoll - lastRoll) + KiRoll
* (integratedRoll + errorRoll));
217.     integratedRoll += errorRoll;
218.     lastRoll = errorRoll;
219.
220.     PIDPitch = (int)(KpPitch * errorPitch + KdPitch * (errorPitch - lastPitch) + K
iPitch * (integratedPitch + errorPitch));
221.     integratedPitch += errorPitch;
222.     lastPitch = errorPitch;
223. }
224.
225. void calculateErrors()
226. {
227.     errorYaw = inYaw - filteredGyroYaw;
228.     errorRoll = inRoll - filteredGyroRoll;
229.     errorPitch = inPitch - filteredGyroPitch;
230. }
231.
232. void countMotors()
233. {
234.     LF = inTrottle - PIDPitch - PIDYaw + PIDRoll;
235.     RF = inTrottle - PIDPitch + PIDYaw - PIDRoll;
236.     LR = inTrottle + PIDPitch + PIDYaw + PIDRoll;
237.     RR = inTrottle + PIDPitch - PIDYaw - PIDRoll;
238. }
239.
240. void readCommandFromSerial()
241. {
242.     float angle = 0.0;
243.     COORD inputCoord;
244.     char message[MAX_SIZE_OF_SERIAL];
245.     int i = 0;
246.
247.     for (i = 0; i < MAX_SIZE_OF_SERIAL; i++)
248.     {
249.         message[i] = '\0';
250.     }
251.
252.     i = 0;
253.     while (Serial.available() > 0 && i < MAX_SIZE_OF_SERIAL)
254.     {
255.         message[i] = Serial.read();
256.         i++;
257.     }
258.     if (i == 0)
259.         return;
260.
261.     if (strcmp(message, "Z", 1) == 0 || strcmp(message, "z", 1) == 0)
262.         inputCoord = Z;
263.     else if (strcmp(message, "Y", 1) == 0 || strcmp(message, "y", 1) == 0)
264.         inputCoord = Y;
265.     else if (strcmp(message, "X", 1) == 0 || strcmp(message, "x", 1) == 0)

```

```

266.         inputCoord = X;
267.
268.         char *pch = strtok(message, " ");
269.         pch = strtok(NULL, " ");
270.
271.         Serial.print("\nDEBUG READED:");
272.         Serial.println("\tmessage");
273.         Serial.println(message);
274.
275.         Serial.println("\tpch");
276.         Serial.println(pch);
277.
278.         Serial.print("\tinputCoord:");
279.         Serial.print(inputCoord);
280.         Serial.print("\tAngle:");
281.         Serial.print(angle);
282.         Serial.flush();
283.
284.         // switch (inputCoord)
285.         // {
286.         //     case Z:
287.         //         inYaw = angle;
288.         //         break;
289.         //     case Y:
290.         //         inRoll = angle;
291.         //         break;
292.         //     case X:
293.         //         inPitch = angle;
294.         //         break;
295.         //     default:
296.         //         break;
297.         // }
298.     }
299.
300.     ANGLE_COMMAND parseCommandFromSerial()
301.     {
302.         struct ANGLE_COMMAND temp;
303.         temp.coord = Z;
304.         temp.angle = 10;
305.         return temp;
306.     }
307.
308.     void setup()
309.     {
310.         Serial.begin(BAUD_RATE);
311.         // put your setup code here, to run once:
312.         // setup pins (digital: 2 in for axelerometer and gyro, 2 in transmitter, 4 ou
t for motors)
313.         leftFront.attach(2);
314.         rightFront.attach(3);
315.         leftRear.attach(4);
316.         rightRear.attach(5);
317.
318.         #ifdef _ESP32_HAL_I2C_H_ // For ESP32
319.             Wire.begin(SDA_PIN, SCL_PIN); // SDA, SCL
320.         #else
321.             Wire.begin();
322.         #endif
323.
324.         mySensor.begin();
325.
326.         if (DEBUG)
327.             mySensor.calcGyroOffsets(true);
328.         else
329.         {
330.             mySensor.calcGyroOffsets();
331.             mySensor.setGyroOffsets(calculatedGyroOffsetX, calculatedGyroOffsetY, calcul
atedGyroOffsetZ);
332.         }

```

```

333.
334.     radio.begin();
335.     radio.openReadingPipe(1, addresses);
336.     radio.startListening();
337. }
338.
339. void debugOutput(const char *param)
340. {
341.     if (strcmp(param, "angle") == 0)
342.     {
343.         Serial.print("\nangleX:");
344.         Serial.print(inAngleX);
345.
346.         Serial.print("\ntangleY:");
347.         Serial.print(inAngleY);
348.
349.         Serial.print("\ntangleZ:");
350.         Serial.print(inAngleZ);
351.         return;
352.     }
353. }
354.
355. void loop()
356. {
357.     // put your main code here, to run repeatedly:
358.     //Get Datas
359.
360.     if (radio.available())
361.         getData();
362.
363.     //if (DEBUG)
364.     //{
365.         readCommandFromSerial();
366.     //}
367.
368.     mySensor.update();
369.     getGyro();
370.     getAccel();
371.     getGyroAngles();
372.     getAccAngles();
373.     getAngles();
374.
375.     //debugOutput("angle");
376.
377.     //filter in
378.     filterGyro();
379.     filterAccel();
380.     //calculate calculateErrors
381.     calculateErrors();
382.     //PID
383.     PIDs();
384.     //count motors
385.     countMotors();
386.     //write motors
387.     writeMotors();
388.
389.     delay(dT);
390. }

```

Список литературы:

- 1) <https://www.lucidar.me/en/inertial-measurement-unit/mpu-9250-and-arduino-9-axis-imu/>
Описание работы с модулем MPU9250
- 2) <http://docs.cntd.ru/document/gost-20058-80>
Основы динамики летательных аппаратов в атмосфере
- 3) <https://geektimes.ru/post/258196/>
Создание квадрокоптера